

ISSN 1563-034X
Индекс 75877; 25877

ӘЛ-ФАРАБИ атындағы ҚАЗАҚ ҮЛТТЫҚ УНИВЕРСИТЕТІ

ҚазҰУ ХАБАРШЫСЫ

Физика сериясы

КАЗАХСКИЙ НАЦИОНАЛЬНЫЙ УНИВЕРСИТЕТ имени АЛЬ-ФАРАБИ

ВЕСТНИК КазНУ

Серия физическая

AL-FARABI KAZAKH NATIONAL UNIVERSITY

KazNU BULLETIN

Physics series

№2 (57)

Алматы
«Қазақ университеті»
2016

МАЗМҰНЫ – СОДЕРЖАНИЕ

1-бөлім Жылу физикасы және теориялық жылу техникасы	Раздел 1 Теплофизика и теоретическая теплотехника	
<i>Аскарова А.С., Болегенова С.А., Максимов В.Ю., Алдиярова А.Н.</i>		
3D-моделирование процессов образования вредных компонентов при сжигании пылеугольной пыли в объеме топочной камеры котла БКЗ-75 Шахтинской ТЭЦ.....		4
<i>Калиахмет А.Б., Асембаева М.К., Нураханов Н., Ерикова Г.Е.</i>		
Расчет эффективных коэффициентов диффузии компонентов для двух природных углеводородных газовых смесей в воздухе в интервале температур 273-1000К.....		10
<i>Исатаев М.С., Сүйінжанова Ү.П., Исмаилов А.Х., Сейдулла Ж.Қ., Ильясова Г.О.</i>		
Конустік беттік ағыншының жылудылмасуы.....		16
<i>Исатаев М.С., Молдабекова Д., Омаралина А., Есеналиева А., Сейдулла Ж.Қ.</i>		
Измерение аэродинамических характеристик потока близи поверхности тела		22
<i>Толеуов Г., Сейтжапарова А., Жетібай Г., Серикова А., Рустемова С., Есеналина К.</i>		
Проблемы измерения температуры и температурного поля при исследовании свободных струй.....		28
<i>Аскарова А.А., Болегенова С.А., Максимов В.Ю., Алдиярова А.Н.</i>		
Исследование процессов сжигания угольной пыли с учетом угла наклона вихревых горелочных устройств		34
<i>Исимбаева Э.Р., Шипбаева А.К.</i>		
Особенности кристаллообразования в образцах мяса при температурах ниже криоскопической.....		42
2-бөлім Конденсирленген күй физикасы және материалтану проблемалары	Раздел 2 Физика конденсированного состояния и проблемы материаловедения	
<i>Секербаев К.С., Таурбаев Е.Т., Ботантаева Г.Е., Ермукамед Д., Дьяконов В., Тимошенко В.Ю., Таурбаев Т.И.</i>		
Влияние состава галогена на структурные и оптические свойства органометаллических перовскитов		50
<i>Байшарина Г.А., Тоганбаева Л.К., Ильин А.М.</i>		
Компьютерное моделирование композитных графеновыхnanoструктур.....		56
<i>Мұрзұлов А.Д., Сыфыкова А.А., Суюндышкова Г.С.</i>		
«Полимида -YBa ₂ Cu ₃ O _{6+x} » полимида композитті материал жүйесінде γ-саулелендірудің механикалық касиеттерінің озгеруіне әсері.....		62
<i>Тусунжанов А.Е., Муратбеков Б.М., Кантай Н.</i>		
Исследование эксплуатационных характеристик и структурно-фазового состояния Fe-Ni-Co инвара.....		70
3-бөлім Ядро және элементар бөлшектер физикасы	Раздел 3 Физика ядра и элементарных частиц	
<i>Буртебаев Н., Демьянова А.С., Данилов А.Н., Керимкулов Ж.К., Джансейтов Д.М., Насурлана М., Алимов Д.К., Шакиров А.К.</i>		
Исследование экзотических состояний ядра ¹³ C.....		82
<i>Дьячков В.В., Зарипова Ю.А., Юшков А.В.</i>		
Кластерная структура ядер и новые пространственные закономерности.....		88
<i>Имамбеков О., Токсабаев Ж.</i>		
Расчет матричных элементов рассеяния π [±] -мезонов на изотопах Не в теории Глаубера.....		98
4-бөлім Плазма физикасы	Раздел 4 Физика плазмы	
<i>Алымагамбетов А.Н., Чирков А.Ю.</i>		
Предельные параметры дейтерий-тритиевой плазмы в токамаке средних размеров при мощном инжекционном нагреве.....		108

Толеуов Г., Сейтжаппарова А.,
Жетібай Г., Серикова А.,
Рустемова С., Есеналина К.

**Проблемы измерения
температуры и температурного
поля при исследовании
свободных струй**

Toleuov G., Seitzhapparova A.,
Zhetibay G., Serikova A.,
Rustemova S., Esenalina K.

**Problems of measurement of
temperature and temperature
field in the study of free jets**

Проведены исследования трехмерных турбулентных струй, исходя из особенностей измерения динамических, тепловых характеристик струи. Скорость потока изменялась в пределах 6–15 м/с. Температура потока варьировалась от комнатной до 60° С. Предварительные измерения показали, что формы поперечных профилей по обеим осям симметрии сопла близка к равномерному распределению, имеются лишь небольшие неравномерности в областях, соответствующих отводу тепла от внешних сторон сопла. По этой причине внешние стороны прямоугольных сопел по возможности теплоизолировались от окружающей среды с тем, чтобы до минимума свести отклонение от прямоугольной формы поперечных профилей температуры на срезе сопла. В процессе эксперимента осуществлялась корректировка данных путем построения градиуровочной кривой для вычисления значений температуры. Перемещение записывающего устройства самописца по координате у было проградуировано относительно показаний ртутного термометра. Исследования аэродинамики и процессов теплопереноса трехмерных турбулентных струй проводились в широком диапазоне геометрических параметров сопла, начальной скорости истечения и параметров управляющего воздействия.

Ключевые слова: свободная струя, турбулентность, сопло, распределение температуры, градиуровка.

The experimental setup allowed to conduct research of three-dimensional turbulent jets, based on the characteristics measurement dynamic, thermal characteristics jets. A flow rate varied between the limits 6–15 m/s. A flow temperature varied from room temperature to 600 C. Preliminary measurements have shown that the shape of the transverse profiles in both axes of symmetry of the nozzle close to a uniform distribution, there are only small areas rather irregularly in the corresponding heat dissipation from the outer sides of the nozzle. For this reason, the outer sides of the rectangular nozzles possible heat insulated from the environment. It is necessary to reduce to a minimum deviation from the rectangular shape by cross sections of temperature at the nozzle exit. In the course of the experiments carried out data correction by constructing a calibration curve to calculate the values of temperature. Moving the recorder on the y coordinate was relatively calibrate mercury thermometer readings. Studies aerodynamics and heat transfer processes three-dimensional turbulent jets performed in a wide range of geometric parameters of the nozzle, and a flow rate of the initial parameters of the control action.

Key words: free jet, turbulence, nozzle, temperature distribution, grading.

Төлеуов Г., Сейтжаппарова А.,
Жетібай Г., Серікова А.,
Рұстемова С., Есеналина К.

**Еркін ағыншаларды зерттеу
кезіндегі температуранның және
температуралық ерісті өлшеу
проблемалары**

Ағыншаның динамикалық және жылулық сипаттамаларын өлшеудің ерекшеліктерін ескере отырып, үшөлшемді турбуленттік ағыншалар зерттелді. Ағынның жылдамдығы 6–15 м/с шектерінде озгеріп отыры. Ағынның температурасы комнаталықтан 60°C-қа дейін вариацияланды. Алдын-ала өлшеулер соплоның екі симметрия естегі бойынша жылдамдықтың көлденен профилдерінің формалары бірқалыпта таралуға жақын екендігін көрсетті, тек соплоның сыртын беттерінен жылудың кетуіне байланысты облыстарда азадаң біркең-кіліксіздіктер байқалды. Осы себепті аталаң сыртын беттер коршаған ортадан жылуошашауда, нәтижесінде профилдерінің біркеңкіліксіздіктер минимумға келтірілді. Эксперимент кезінде температура мәндерін есептөу үшін градиуровликалық, кисықты түрлізү жолымен берілгендерді корректировкалау жүргізілді. Өздігінен жазатын кондырығының жағын тетігінің орын ауыстыруы у координатасы бойынша сынап термометрінің корсетуімен салыстырылганда градиуриленді. Үшөлшемді турбуленттік ағыншаның аэродинамикасының және жылутасымалың зерттеу, соплоның геометриялық параметрлерінің, ағынның бастапқы жылдамдығының көң диапазондарында жүргізілді.

Түйін сөздер: еркін ағынша, турбуленттік, сопло, температуранның таралуы, градиурилеу.

*Толеуов Г., Сейтжаппарова А., Жетибай Г.,
Серикова А., Рустемова С., Есеналина К.

Казахский национальный университет им. аль-Фараби,
НИИ ЭТФ, Республика Казахстан, г. Алматы
*E-mail: Gazy.z.Toleuov@kaznu.kz

ПРОБЛЕМЫ
ИЗМЕРЕНИЯ
ТЕМПЕРАТУРЫ И
ТЕМПЕРАТУРНОГО
ПОЛЯ ПРИ
ИССЛЕДОВАНИИ
СВОБОДНЫХ СТРУЙ

Введение

В последние годы, в различных устройствах, применяемых в энергетике, вентиляционной технике, реактивной технике и т.д., начались использоваться турбулентные струи, вытекающие из отверстия прямоугольного, эллиптического или какого-либо иного сечения, имеющего больше чем один характерный размер [1-4]. Для трехмерных струй, обладающих повышенной чувствительностью к внешним воздействиям не достаточно изучались проблемы, касающихся теплопереноса таких струй. Это обстоятельство послужило основанием для постановки задачи экспериментального исследования.

Экспериментальная установка

Экспериментальные установки позволяли провести исследования трехмерных турбулентных струй, исходя из особенностей измерения динамических, тепловых характеристик струи.

Эксперименты проводились на установке (рисунок 1), где воздух от вентилятора 1 поступал через виброгасящий переход 2 в успокоительную камеру 3, затем через сетки 4 и 5 истекал из сопла 6 с прямоугольной формой выходного сечения.

Корневая часть струи располагалась в рабочей части теневого прибора ИАБ-451, оборудованного так, что можно было наблюдать теневую мгновенную картину течения.

Воздействие на струю осуществлялось с помощью динамика 7 мощностью 50 Вт, размещенного в успокоительной камерефронтально к выходному сечению струи.

Для измерения средней скорости и динамического давления применялись трубка Пито 8 и микроманометр 9 марки ММН-240.

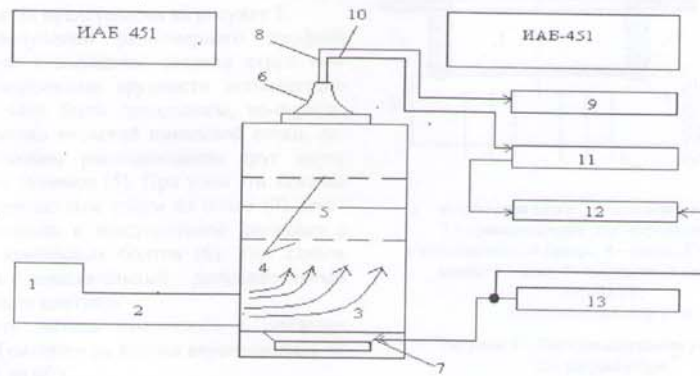
Во время эксперимента с помощью двух координатных самописцев, оборудованных дополнительными устройствами производили запись динамических и тепловых характеристик в виде пространственных распределений.

Для формирования трехмерных струй использовались сменные сопла (рисунок 2) с различными удлинениями. Удлинением сопла называют отношение длинной стороны к короткой

стороне b на срезе сопла ($\lambda = a/b$). Прямоугольные сопла имели одинаковую высоту 90 мм, со степенями поджатия $c \approx 10$, причем значения площадей среза выхода для всех сопел были примерно одинаковы и равно велики по площади круглому соплу, диаметр которого составлял бы

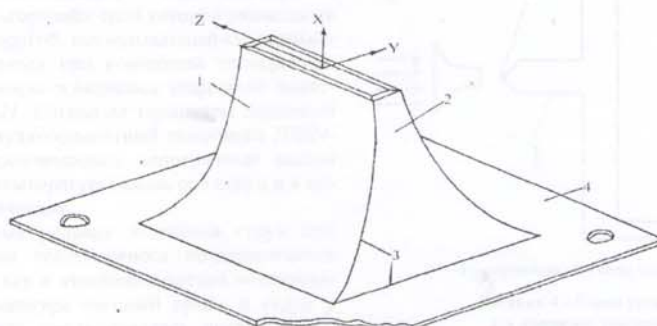
$d_{sp} = 22,57$ мм. В соответствии с этим эффективный диаметр каждого прямоугольного сопла d_s был приблизительно таким же, как диаметр круглого сопла. Здесь $d_s = 2\sqrt{ab/\pi}$.

В опытах использовались сопла с удлинением $\lambda = 2,66; 11,00$.



1 – вентилятор; 2 – виброгасящий переход; 3 – успокоительная камера;
4 – выравнивающие сетки; 5 – нагреваемая сетка; 6 – сопло; 7 – динамик;
8 – трубка Пито; 9 – микроманометр; 10 – датчик термоанемометра; 11 – система
термоанемометрического блока типа СТМ-02; 12 – блок фазовой выборки;
13 – звуковой генератор.

Рисунок 1 – Схема экспериментальной установки



1, 2 – стороны сопла; 3 – линии припайки; 4 – основание сопла.

Рисунок 2 – Конструкция сопла с прямоугольным выходным сечением

Экспериментальное исследование теплопереноса в трехмерных струях проводилось на той же экспериментальной установке, которая описана выше. Воздух, поступающий в успокоительную камеру через выравнивающие сетки, истекал из прямоугольного сопла. Струя при этом нагревалась с помощью нагревателя, смонтированного во входном сечении сопла. Схема его устройства представлена на рисунке 3.

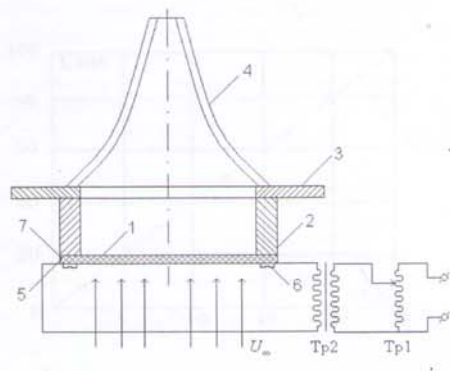
При получении равномерного профиля температуры в выходном сечении струи возникли определенные трудности технического характера. Они были преодолены, во-первых, выбором мелко ячеистой никелевой сетки, во-вторых, близким расположением друг другу контактных зажимов (5). При этом эти зажимы вместе с контактным слоем из олова (7) плотно прижимались к текстолитовой державке с помощью крепежных болтов (6). Тем самым устраивался нежелательный дополнительный нагрев в месте контакта.

Скорость потока изменялась в пределах 6–15 м/с. Температура потока варьировалась от комнатной до 60°C.

Схема экспериментальной установки (рисунок 4) для измерения распределения температуры содержит следующие составные части: медь-константовую термопару, цифровой вольтметр универсальный В7-21, двухкоординатный самописец ПДП4-002.

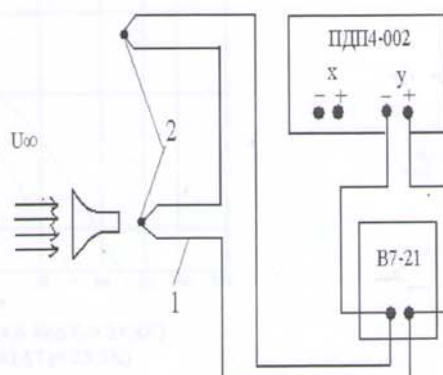
Для измерения распределения температуры струи использовалась медь-константавая термопара, «горячий» спай которой размещался в потоке, а другой, так называемый «холодный» спай, находился при комнатной температуре. ЭДС термопары измерялась цифровым вольтметром В7-21. Сигнал от термопары подавался также на двухкоординатный самописец ПДП4-002, где производились непрерывные записи изменения температуры вдоль оси струи и в поперечных сечениях.

Начальные условия истечения струи при исследовании теплопереноса поддерживались такими же, как в аэродинамических исследованиях. Температура внешней среды и струи у выхода сопла поддерживалась постоянной и контролировалась ртутным термометром с ценой деления 0,1°C.



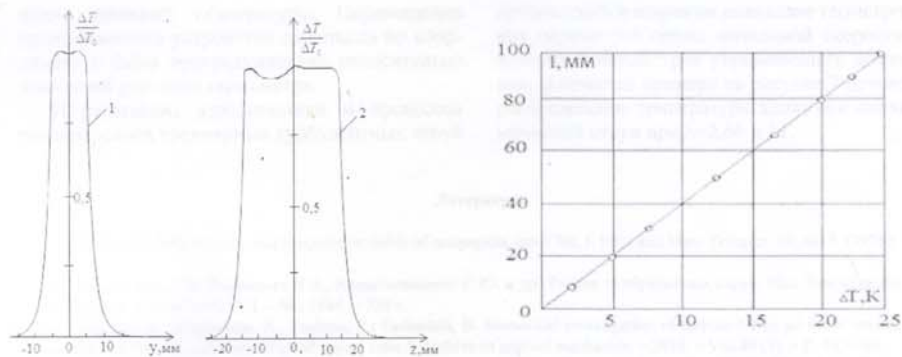
1 – нагреваемая сетка; 2 – текстолитовая державка;
3 – приспособление для закрепления сопла
к успокоительной камере; 4 – сопло; 5 – контактный
зажим; 6 – болт; 7 – контактный слой олова;
Tr1-ЛАТР;
Tr2-трансформатор тока.

Рисунок 3 – Экспериментальная установка
для нагрева струи



1 – термопара; 2 – спай термопары.

Рисунок 4 – Схема установки
для измерения температуры



1 – вдоль оси, параллельной короткой стороне сопла;
2 – вдоль оси, параллельной длинной стороне сопла.

Рисунок 5 – Распределение температуры на срезе сопла для $\lambda=2,66$

Рисунок 6 – Градуировкатермопары в виде зависимости значений перемещения записывающего устройства от показаний ртутного термометра

$I, \text{мм}$

$\delta T, \text{К}$

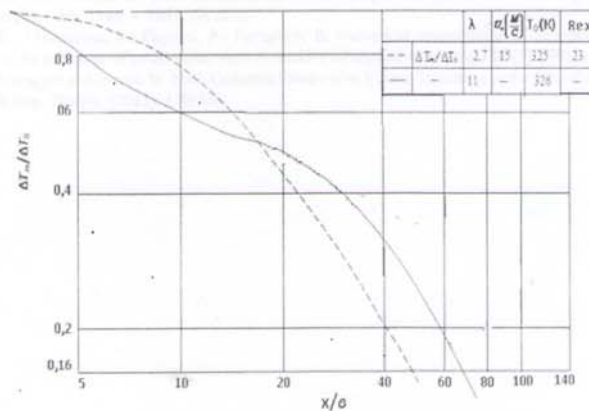


Рисунок 7 – Распределение избыточной температуры по оси трехмерной струи при различных значениях параметра λ при начальной скорости $U_0 = 15 \text{ м/с}$.

Результаты измерений

Предварительные измерения показали (рисунок 5), что формы поперечных профилей по обеим осям симметрии сопла близка к равномерному распределению, имеются лишь небольшие неравномерности в областях, соответствующих отводу тепла от внешних сторон сопла. По

этой причине внешние стороны прямоугольных сопел по возможности теплоизолировались от окружающей среды с тем, чтобы до минимума свести отклонение от прямоугольной формы поперечных профилей температуры на срезе сопла.

В процессе экспериментов осуществлялась корректировка данных путем построения градуировочной кривой (рисунок 6) для вычис-

ления значений температуры. Перемещение записывающего устройства самописца по координате y было проградуировано относительно показаний ртутного термометра.

Исследования аэродинамики и процессов теплопереноса трехмерных турбулентных струй

проводились в широком диапазоне геометрических параметров сопла, начальной скорости истечения и параметров управляющего воздействия. В качестве примера на рисунке 7 приведено распределение температуры вдоль оси неизотермической струи при $\lambda=2,66$ и 11.

Литература

- 1 Steier A.A The velocity and temperature fields of rectangular jets // Int. J. Heat and Mass Transfer. 19, №11. (1976). 1298-1297.
- 2 Абрамович Г.Н., Гиршович Н.А., Крашенников С.Ю. и др. Теория турбулентных струй. Изд. 2-ое перераб. и допол. / Под ред. Абрамовича Г.Н. – М., 1984. – 720 с.
- 3 Faghani, E.; Maddahian, R.; Faghani, P.; Farhanieh, B. Numerical investigation of turbulent free jet flows issuing from rectangular nozzles: the influence of small aspect ratio // Archive of applied mechanics. – 2010. – Vol.80 (7). – P. 727-745.
- 4 Lhendup Namgyal and Joseph W. Hall. Coherent Streamwise Vortex Structures in the Near-Field of the Three-Dimensional Wall Jet // J. Fluids Eng. – 2013. – Vol.135(6). – P. 120-126.

References

- 1 Steier A.A The velocity and temperature fields of rectangular jets // Int. J. Heat and Mass Transfer. 19, №11. (1976). 1298-1297.
- 2 Abramovich G.N., Girshovich G.A., Krasheninnikov S.Ju. idrugie. Teoriya turbulentnyh struj. Izd. 2-oe pererab. idop. / Pod red. G.N. Abramovicha. – M., 1984. – 720 s. (in russ).
- 3 Faghani, E.; Maddahian, R.; Faghani, P.; Farhanieh, B. Numerical investigation of turbulent free jet flows issuing from rectangular nozzles: the influence of small aspect ratio // Archive of applied mechanics. 80 (7). (2010). 727-745.
- 4 Lhendup Namgyal and Joseph W. Hall. Coherent Streamwise Vortex Structures in the Near-Field of the Three-Dimensional Wall Jet // J. Fluids Eng. 135 (6). (2013). 120-126.